

## РЫЖЕВОЛ СЕРГЕЙ СЕРГЕЕВИЧ

# УЛУЧШЕНИЕ ЭНЕРГЕТИЧЕСКИХ ПОКАЗАТЕЛЕЙ УСТАНОВОК КОВШ-ПЕЧЬ ЗА СЧЕТ ПРИМЕНЕНИЯ УСОВЕРШЕНСТВОВАННЫХ АЛГОРИТМОВ УПРАВЛЕНИЯ ЭЛЕКТРИЧЕСКИМИ РЕЖИМАМИ

Специальность 2.4.2. Электротехнические комплексы и системы

## **АВТОРЕФЕРАТ**

диссертации на соискание ученой степени кандидата технических наук

Работа выполнена в федеральном государственном бюджетном образовательном учреждении высшего образования «Магнитогорский государственный технический университет им. Г.И. Носова».

Научный руководитель: Николаев Александр Аркадьевич

кандидат технических наук, доцент

Официальные оппоненты: Нехамин Сергей Маркович

доктор технических наук, профессор, ФГБОУ ВО «Национальный исследовательский университет «МЭИ», профессор кафедры электроснабжения промышленных предприятий и электротехнологий

Бикеев Роман Александрович

кандидат технических наук, доцент, ФГБОУ ВО «Новосибирский государственный технический университет», доцент кафедры автоматизированных

электротехнологических установок

Ведущая организация: ФГБОУ ВО ««Тверской государственный техниче-

ский университет»»

Защита состоится «19» декабря 2025 г. в 13 час 00 мин. на заседании диссертационного совета 24.2.324.05 на базе федерального государственного бюджетного образовательного учреждения высшего образования «Магнитогорский государственный технический университет им. Г.И. Носова» по адресу: 455000, Челябинская обл., г. Магнитогорск, пр. Ленина, 38, ауд. 233.

С диссертацией можно ознакомиться в библиотеке и на официальном сайте http://magtu.ru/ ФГБОУ ВО «Магнитогорский государственный технический университет им. Г.И. Носова».

Автореферат разослан «	<b>&gt;&gt;</b>	2025 г.

Ученый секретарь диссертационного совета 24.2.324.05

канд. техн. наук, доцент

Одинцов Константин Эдуардович

#### ОБШАЯ ХАРАКТЕРИСТИКА РАБОТЫ

Актуальность темы исследования. В настоящее время черная металлургия является одной из ключевых отраслей российской экономики, существенно влияющая на формирование ВВП страны. Согласно последним данным, доля черной металлургии в ВВП страны составляет около 5%, в промышленном производстве 18% и формирует 14% экспортных поставок. В современной черной металлургии благодаря высокой производительности и экономической эффективности в сравнении с другими сталеплавильными агрегатами широкое распространение получило электросталеплавильное производство. Так, согласно последним данным на долю электросталеплавильного производства приходится 45-50% общего объема производства стали в стране. Крупнейшими производителями электростали в России являются: Магнитогорский металлургический комбинат. Череповецкий металлургический комбинат, Новолипецкий металлургический комбинат, Оскольский электрометаллургический комбинат, Уральская сталь, Выксунский металлургический завод. Ревлинский метизно-металлургический завод и др. Основой электрометаллургического производства являются электротехнические комплексы с дуговыми сталеплавильными печами (ДСП) и установками ковш-печь (УКП). Эксплуатация данных комплексов сопряжена со значительными затратами электроэнергии, которые вносят весомую часть в себестоимость конечной продукции.

В электрометаллургии ДСП используются как основной агрегат для расплавления твердой металлошихты и получения жидкого полупродукта, который затем доводят в УКП до требуемых температурных и химических параметров. Благодаря высокой производительности, гибкости производственного цикла и точности получаемого химического состава выпускаемой стали, УКП находит применение не только в электросталеплавильных цехах, но и в цехах с конвертерным производством стали, что позволяет существенно повысить эффективность конвертерного производства и качество получаемой стали, делая процесс более гибким и управляемым. Несмотря на преимущества внедрения УКП в металлургическое производство, энергопотребление агрегатов остаётся значительным и составляет весомую долю в себестоимости конечного продукта. При этом эффективность функционирования алгоритмов и систем автоматического управления электрическими режимами УКП существенно влияет на уровень энергопотребления. Достижение наилучших электрических режимов УКП, обеспечивающих минимальный удельный расход электроэнергии, возможно в случае применения алгоритмов и систем автоматического управления, обеспечивающих автоматическую адаптацию вторичного напряжения печного трансформатора и импеданса вторичного электрического контура УКП к изменяющимся условиям горения дуг, на которые влияют режим аргонной продувки, толщина и состояние шлака, а также расположение зеркал жидкого металла относительно электродов УКП.

Современные электротехнические комплексы на базе УКП в большинстве случаев оснащаются зарубежными системами управления электрическими режимами и перемещением электродов Melt Expert, ArCOS, Simelt, Q-REG, HI-REG, E.M.P.E.R.E. и A.R.C.E.L.E.C. ведущих зарубежных компаний Primetals Technologies (ранее Siemens VAI и Vatron), Danieli, Amec Spie. Данные системы управления осуществляют поддержание заранее рассчитанных параметров вторичного электрического контура УКП, например, полное сопротивление фазы  $Z_{2\Phi}$ , активное сопротивление дуг  $R_{\Pi}$  или полные проводимости фаз  $Y_{2\Phi}$ . Рассчитанные значения данных параметров привязаны к ступеням напряжения трансформатора и рабочим кривым, которые сталевар УКП выбирает вручную в зависимости от требуемой скорости нагрева жидкого металла, при этом при ручном управлении вторичным напряжением печного трансформатора и тока электрической дуги не учитывается изменение условий горения дуг в УКП в процессе обработки жидкой стали. Такой подход не позволяет автоматически адаптировать электрический режим УКП к динамически меняющимся условиям плавки, в первую очередь к состоянию шлака и интенсивности аргонной продувки. Между тем именно эти факторы

определяют степень экранирования электрических дуг и, как следствие, их тепловой КПД. В связи с этим актуальным является разработка усовершенствованных алгоритмов автоматического управления электрическими режимами УКП, обеспечивающих динамическую адаптацию вторичного напряжения печного трансформатора и импедансов вторичного электрического контура к изменяющимся условиям горения дуг в УКП.

Степень разработанности. Исследования, направленные на снижение энергопотребления электротехнических комплексов с ДСП и УКП, описаны в научных трудах отечественных и зарубежных учёных. Среди зарубежных авторов следует выделить работы Кrüger K, Bowman B. и Köhle S, а среди отечественных – работы Ю.М. Миронова, А.Н. Макарова, А.А. Николаева, Р.А. Бикеева, А.Н. Шпигановича, С.М. Нехамина, П.Г. Тулупова, В.А. Кудрина, В.П. Рубцова, В.А. Серикова, Л.А. Кучумова, Я.С. Паранчук и других. При этом фундаментальные основы данного направления исследований были заложены в работах А.Д. Свенчанского, М.Я. Смелянского, Ю.Н. Тулуевского, И.Ю. Зинурова, Р.В. Минеева и Ю.А. Гудима.

Значительное количество исследований проводится в области управления электрическими режимами ДСП с применением информации о гармоническом составе токов и напряжений дуг. Однако вопрос автоматического управления электрическими режимами УКП с возможностью автоматической адаптации к условиям аргонной продувки и шлаковому режиму в литературе подробно не рассматривался. В связи с этим, данный вопрос заслуживает рассмотрения в рамках отдельного исследования.

<u>Объектом исследования</u> являются установки ковш-печь, функционирующие в электросталеплавильных цехах отечественных металлургических предприятий черной металлургии ПАО «ММК» и ПАО «Северсталь».

<u>Предметом исследования</u> является система автоматического управления электрическими режимами и перемещением электродов УКП.

<u>Целью диссертационной работы</u> является улучшение энергетических показателей УКП за счет применения усовершенствованных алгоритмов управления электрическими режимами.

### Для достижения данной цели были поставлены следующие задачи:

- 1. Анализ состава электрооборудования, технологических режимов и существующих подходов к управлению электрическими режимами исследуемых установок ковш-печь.
- 2. Проведение экспериментальных исследований изменения гармонического состава токов электрических дуг УКП в зависимости от режимов аргонной продувки и шлаковых режимов.
- 3. Разработка математических моделей электротехнических комплексов «питающая сеть электрический контур УКП» для исследования и сравнения электрических режимов УКП, а также для нахождения наилучших значений коэффициентов несимметрии длин дуг и уставок импедансов вторичного электрического контура, обеспечивающих снижение удельного расхода электроэнергии УКП.
- 4. Разработка методики задания оптимальных электрических режимов УКП учитывающей расположение оборудования аргонной продувки и позволяющей находить значения уставок импедансов вторичного электрического контура, задающих наилучшую несимметрию длин дуг, которая обеспечивает увеличение КПД дуг в фазах, расположенных в непосредственной близости к зеркалам жидкого металла на поверхности ванны в стальковше.
- 5. Разработка усовершенствованных алгоритмов автоматического управления электрическими режимами УКП с использованием информации о гармоническом составе токов дуг, выраженных через коэффициент шлака  $K_{\text{ШЛАК}}$  и обеспечивающих повышение КПД электрических дуг, повышение скорости нагрева металла, уменьшение времени работы под током, и, как следствие, снижение удельного расхода электроэнергии, за счет динамической

адаптации уставок импеданса вторичного электрического контура УКП и ступеней РПН печного трансформатора к текущим условиям аргонной продувки и шлаковым режимам.

- 6. Разработка методики определения граничных значений коэффициента шлака  $K_{\rm IIIЛAK}$ . для разработанного алгоритма автоматического управления электрическими режимами УКП, позволяющей осуществлять своевременные изменения вторичного напряжения печного трансформатора и импеданса вторичного электрического контура.
- 7. Оценка эффективности усовершенствованного алгоритма автоматического управления электрическими режимами УКП с динамической адаптацией вторичного напряжения печного трансформатора и импедансов вторичного электрического контура, а также усовершенствованных электрических режимов УКП.

## Научная новизна работы заключается в следующем:

- 1. Получены новые результаты экспериментальных исследований изменения гармонического состава токов электрических дуг в УКП, показывающие взаимосвязь значения суммарного коэффициента гармонических искажений токов дуг и общего КПД дуг от режимов аргонной продувки и шлаковых режимов. На основании этого доказана возможность улучшения энергетических показателей УКП за счет применения специальных электрических режимов с динамической коррекцией уставок импеданса вторичного электрического контура и ступеней РПН печного трансформатора за счет анализа уровня высших гармоник токов дуг.
- 2. Разработана методика задания оптимальных электрических режимов УКП, отличающаяся от известных тем, что учитывает расположение оборудования аргонной продувки и позволяет находить значения уставок импедансов вторичного электрического контура, задающих наилучшую несимметрию длин дуг, которая обеспечивает увеличение КПД дуг в фазах, расположенных в непосредственной близости к зеркалам жидкого металла на поверхности ванны в стальковше.
- 3. Разработаны усовершенствованные алгоритмы автоматического управления электрическими режимами УКП, отличающиеся от известных тем, что имеют динамическую адаптацию уставок импеданса вторичного электрического контура УКП и ступеней РПН печного трансформатора, что обеспечивает повышение КПД электрических дуг и снижение удельного расхода электроэнергии электротехнического комплекса «Питающая сеть УКП».
- 4. Получены результаты экспериментальных исследований эффективности усовершенствованного алгоритма автоматического управления электрическими режимами УКП, доказывающие наличие технического эффекта по уменьшению удельного расхода электроэнергии.

Практическая ценность и реализация работы заключается в ее универсальности и доказанной эффективности. Разработанные решения могут быть интегрированы как на уже эксплуатируемом оборудовании установок ковш-печь в существующие системы управления электрическими режимами, так и при конструировании новых агрегатов, а также при разработке новых систем управления электрическими режимами установок ковш-печь. Применение усовершенствованных алгоритмов автоматического управления обеспечивает доказанный технический эффект по снижению удельного расхода электроэнергии на 2-3 %, подтвержденный результатами промышленной эксплуатации на ПАО «ММК» и ПАО «Северсталь». Достижение технического эффекта становится возможным благодаря динамической адаптации уставок импеданса вторичного электрического контура, определяющих длины электрических дуг, и ступеней РПН печного трансформатора, задающих уровень вторичного напряжения в зависимости от текущих условий аргонной продувки и шлакового режима, что повышает тепловой КПД дуг и увеличивает скорость нагрева металла без значительного увеличения затрат электроэнергии. Предложенные решения универсальны и могут быть эффективно интегрированы как в существующие, так и в новые системы управления электрическими режимами УКП.

Методика проведения исследований. Исследование базируется на фундаментальных принципах электротехники, теории автоматического управления и математической статистики. Практическая реализация математических моделей, описывающих электрические сети, контуры электросталеплавильных агрегатов и электрическую дугу, была выполнена в программной среде Simulink из состава математического пакета Matlab. Эмпирической базой для работы послужили производственные данные, полученные на металлургических комбинатах ПАО «ММК» и ПАО «Северсталь». В ходе анализа использовался широкий спектр информации: осциллограммы токов и напряжений, записанные регистратором электрических событий РЭС-3, видеозаписи поведения поверхности расплава при аргонной продувке, характеристики гидроприводов электродов и параметры систем автоматического управления электрическими режимами УКП. Оценка итогового технического эффекта проводилась путем сравнения статистических данных по плавкам за периоды до и после внедрения разработанных решений.

#### Основные положения и результаты, выносимые на защиту:

- 1. Результаты экспериментальных исследований взаимосвязи суммарного коэффициента гармонических искажений токов дуг и общего КПД дуг от режимов аргонной продувки и шлаковых режимов, доказывающие возможность улучшения энергетических показателей УКП за счет применения специальных электрических режимов с динамической коррекцией уставок импеданса вторичного электрического контура и ступеней РПН печного трансформатора в функции уровня высших гармоник токов дуг.
- 2. Методика задания оптимальных электрических режимов УКП, учитывающая расположение оборудования аргонной продувки и позволяющая находить значения уставок импедансов вторичного электрического контура, задающих наилучшую несимметрию длин дуг, которая обеспечивает увеличение КПД дуг в фазах, расположенных в непосредственной близости к зеркалам жидкого металла на поверхности ванны в стальковше.
- 3. Усовершенствованные алгоритмы автоматического управления электрическими режимами УКП с динамической адаптацией уставок импеданса вторичного электрического контура УКП и ступеней РПН печного трансформатора, обеспечивающие повышение КПД электрических дуг и снижение удельного расхода электроэнергии электротехнического комплекса «Питающая сеть УКП».
- 4. Результаты экспериментальных исследований эффективности усовершенствованного алгоритма автоматического управления электрическими режимами УКП, доказывающие наличие технического эффекта по уменьшению удельного расхода электроэнергии.

Обоснованность и достоверность научных положений, выводов и рекомендаций подтверждаются как теоретической, так и практической базой. Теоретическая обоснованность подтверждается корректностью исходных предпосылок и методов моделирования, а также согласованностью результатов с работами других авторов. Практическая же ценность и достоверность доказана результатами промышленных испытаний разработанных алгоритмов управления электрическими режимами УКП с динамической адаптацией уставок импеданса вторичного электрического контура и вторичного напряжения печного трансформатора на агрегатах отечественных предприятий ПАО «ММК» и ПАО «Северсталь».

Соответствие паспорту научной специальности. Проблематика, рассмотренная в диссертации, соответствует пунктам 1, 3 паспорта научной специальности 2.4.2. Электротехнические комплексы и системы (п.1. Развитие общей теории электротехнических комплексов и систем, анализ системных свойств и связей, физическое, математическое, имитационное и компьютерное моделирование компонентов электротехнических комплексов и систем, включая электромеханические, электромагнитные преобразователи энергии и электрические аппараты, системы электропривода, электроснабжения и электрооборудования; п.3. Разработка, структурный и параметрический

синтез, оптимизация электротехнических комплексов, систем и их компонентов, разработка алгоритмов эффективного управления).

Апробация результатов диссертационной работы. Основные положения диссертационной работы докладывались и обсуждались на 8 международных конференциях, в том числе: 2024 Russian Workshop on Power Engineering and Automation of Metallurgy Industry: Research & Practice (PEAMI) (г. Магнитогорск, оз. Банное, 2024); 2023 Russian Workshop on Power Engineering and Automation of Metallurgy Industry: Research & Practice (PEAMI) (г. Магнитогорск, оз. Банное, 2023); 2022 Russian Workshop on Power Engineering and Automation of Metallurgy Industry: Research & Practice (PEAMI) (г. Магнитогорск, оз. Банное, 2022); 2024 International Ural Conference on Electrical Power Engineering (UralCon) (г. Магнитогорск, 2024); 2022 International Ural Conference on Electrical Power Engineering (UralCon) (г. Магнитогорск, 2022); 2022-2024 80-82 Международной научно-технической конференций «Актуальные проблемы современной науки, техники и образования» (г. Магнитогорск, 2022-2024).

В 2023 – 2025 гг. исследования выполнялись в рамках государственного задания по теме «Разработка фундаментальных основ и научно обоснованных технических решений для повышения ресурсо- и энергоэффективности электротехнических и технологических систем предприятий горно-металлургического комплекса России» (научный проект №FZRU-2023-0008).

В 2021-2023 гг. экспериментальные исследования, разработка и внедрение усовершенствованных алгоритмов управления электрическими режимами однопозиционных УКП выполнялись в рамках НИОКР на предприятиях черной металлургии ПАО «ММК» и ПАО «Северсталь».

<u>Публикации.</u> По содержанию диссертации опубликовано <u>13</u> научных трудов, в том числе <u>3</u> статьи в изданиях, входящих в перечень рекомендованных ВАК РФ, <u>6</u> статей в изданиях, индексируемых Scopus, получено <u>4</u> свидетельства о государственной регистрации программ для ЭВМ.

<u>Структура и объем работы.</u> Структура диссертации включает в себя введение, пять глав, заключение и список литературы из <u>106</u> наименований. Работа изложена на <u>192</u> страницах основного текста, содержит <u>88</u> рисунков, <u>35</u> таблиц и приложения объемом <u>27</u> страниц.

<u>Личный вклад автора.</u> Все результаты диссертационной работы получены автором самостоятельно. Автором получены результаты экспериментальных исследований изменений гармонического состава токов дуг однопозиционных УКП, показывающие зависимость суммарного коэффициента гармонических искажений токов дуг и теплового КПД электрических дуг от режимов аргонной продувки и шлаковых режимов. Была разработана методика задания оптимальных электрических режимов УКП, позволяющая находить наилучшие значения коэффициентов несимметрии длин дуг и уставок импедансов вторичного электрического контура для стабилизации дуг в фазах, расположенных в непосредственной близости к зеркалам жидкого металла на поверхности ванны в стальковше. Также были разработаны усовершенствованные алгоритмы автоматического управления электрическими режимами УКП, обеспечивающие динамическую адаптацию уставок импеданса вторичного электрического контура и вторичного напряжения печного трансформатора. Автором проведен анализ технического эффекта по уменьшению удельного расхода электроэнергии от применения усовершенствованного алгоритма автоматического управления электрическими режимами УКП.

#### СОДЕРЖАНИЕ РАБОТЫ

<u>Во введении</u> раскрывается актуальность решаемой проблемы и научная новизна работы, определяются цели и задачи, а также обосновывается теоретическая и практическая значимость выполненной работы.

В первой главе проведен анализ состава электрооборудования и технологических режимов установок ковш-печь различного класса и мощности. Важной технологической особенностью УКП является необходимость перемешивания жидкой стали в стальковшах инертным газом. Работа продувочных блоков создает возмущения на поверхности жидкого металла, которые негативно сказываются на энергоэффективности работы электросталеплавильного агрегата. Таким образом, для повышения энергоэффективности УКП необходима адаптация к текущим условиям аргонной продувки, более того необходимо учитывать расположение продувочных блоков. Также показаны структуры, алгоритмы управления и функциональные возможности современных систем управления электрическими режимами и перемещением электродов УКП, получивших наибольшее распространение в России и в мире. Типовая функциональная схема системы управления электрическими режимами и перемещением электродов представлена на рис.1.

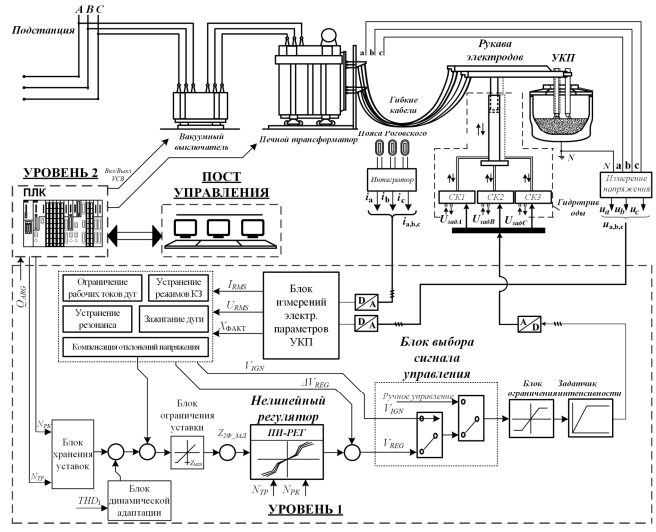


Рис.1. Типовая функциональная схема современной системы автоматического управления электрическими режимами и перемещением электродов УКП

Современные системы управления электрическими режимами УКП обладают большим количеством настроек и функциональных возможностей, что делает их весьма гибкими в плане формирования электрических режимов. В частности, зарубежными компаниями – производителями электросталеплавильных агрегатов и систем автоматического управления электрическими режимами, такими как Primetals Technologies (ранее Siemens VAI, Vatron) и др., в соответствии с текущим суммарным коэффициентом гармонических искажений тока  $K_1$  может осуществляться коррекция уставки импеданса. Однако средства динамической адаптации с использованием информации о  $K_1$  допускают только симметричное изменение длин электрических дут. Более того, коэффициенты адаптации и граничные значения задаются однократно и действуют для всех сочетаний ступеней РПН печного трансформатора  $N_{\rm TP}$  и номера рабочей кривой  $N_{\rm PK}$ , определяющей уставки импеданса вторичного электрического контура  $Z_{\rm 2\Phi, 3AД1, 2,3}$ . Также, в современных системах управления электрическими режимами УКП отсутствуют функциональные возможности для автоматического переключения ступеней напряжения печного трансформатора  $N_{\rm TP}$  и рабочих кривых  $N_{\rm PK}$ .

Все вышеперечисленное делает блок динамической адаптации мало пригодным для промышленной эксплуатации, что подтверждается результатами анализа существую-

щих алгоритмов управления электрическими режимами УКП. На действующем производстве управление электрическими режимами УКП осуществляется сталеварами вручную и зачастую с использованием ограниченного набора ступеней напряжения печного трансформатора  $N_{\rm TP}$  и рабочих кривых  $N_{\rm PK}$ . Следовательно, в современных системах автоматического управления электрическими режимами УКП, несмотря на достаточную гибкость настроек и широкие функциональные возможности, отсутствует автоматическая адаптация электрических режимов к текущим условиям плавки (аргонной продувке и шлаковым режимам). В соответствии с этим, для повышения энергоэффективности УКП, необходимо использовать усовершенствованные алгоритмы автоматического управления электрическими режимами УКП с динамической адаптацией вторичного напряжения печного трансформатора и импедансов вторичного электрического контура, задающих длины электрических дуг, используя суммарный коэффициент гармонических составляющих тока  $K_{\rm I}$  в качестве критерия для изменения электрического режима.

Вторая глава посвящена результатам экспериментальных исследований электрических режимов исследуемых УКП как объектов исследования в составе внутрицеховой системы электроснабжения (рис. 2, рис. 3). Выполнен сбор данных об электрооборудовании, системах электроснабжения и управления. Выявлены особенности систем электроснабжения: наличие устройства компенсации реактивной мошности и параллельная работа с ДСП на ПАО «ММК», отсутствие устройств компенсации реактивной мощности и значительные колебания напряжения на ПАО «Северсталь». Выполнены серии опытов короткого замыкания на исследуемых УКП, позволившие с высокой точностью определить параметры вторичного электрического контура (активные, индуктивные, полные сопротивления фаз и взаимные индуктивности), учитывающие взаимное влияние фаз и смещение нейтрали. Экспериментально определены регулировочные характеристики гидроприводов перемещения электродов. Кроме вышеперечисленных исследований были построены и проанализированы экспериментальные зависимости  $P_{1,\text{CYM}} = f(I_{1,\text{CP}})$  и  $Q_{1,\text{CYM}} = f(I_{1,\text{CP}})$  для основных рабочих ступеней РПН печных трансформаторов и рабочих кривых (рис. 4). Также на основании данных зависимостей была проведена проверка адекватности разработанных математических моделей путем сравнения расчетных рабочих точек с экспериментальными данными (рис.6).

На основе полученных экспериментальных данных и известных методик, разработаны математические модели электротехнических комплексов «Питающая сеть – электрический контур УКП» для исследуемых установок (рис.5), включающие модели питающей сети, печного трансформатора, короткой сети, нелинейной электрической дуги (на основе уравнения Касси) и системы перемещения электродов. Статистический анализ подтвердил адекватность моделей: расчетные точки попадают в доверительные интервалы математических ожиданий экспериментальных массивов по токам и мощностям (рис.6). Разработанные математические модели исследуемых агрегатов имеют достаточную точность и позволяют провести детальный анализ имеющихся электрических режимов исследуемых агрегатов. Для заданных значений уставок был проведён расчёт электрических характеристик  $(P_1=f(I_{\perp}), Q_1=f(I_{\perp}), S_1=f(I_{\perp}), P_{\perp}=f(I_{\perp}), KU=f(I_{\perp}), KUH=f(I_{\perp}))$ на математической модели с последующим нанесением рабочих точек (рис.7), что позволило оценить текущие электрические режимы. Проведенные экспериментальные исследования скорости нагрева жидкой стали в исследуемых УКП позволили установить среднюю скорость нагрева жидкой стали на производительной ступени напряжения ПТ: 1) для УКП№1 180т. ПАО «ММК» 4,5°С/мин; 2) для УКП№2 120т. ПАО «Северсталь» 4,6°С/мин.

Проанализированы средние временные и энергетические показатели работы исследуемых УКП на основе электронных паспортов плавок. Установлены базовые значения скорости нагрева жидкой стали, удельного расхода электроэнергии и других параметров, которые использованы в дальнейшем для сравнительного анализа эффективности усовершенствованных электрических режимов агрегатов. Также на основе данных электронных паспортов плавок были рассчитаны средние значения временных, энергетических и технологических показателей работы исследуемых УКП (таблица 1).

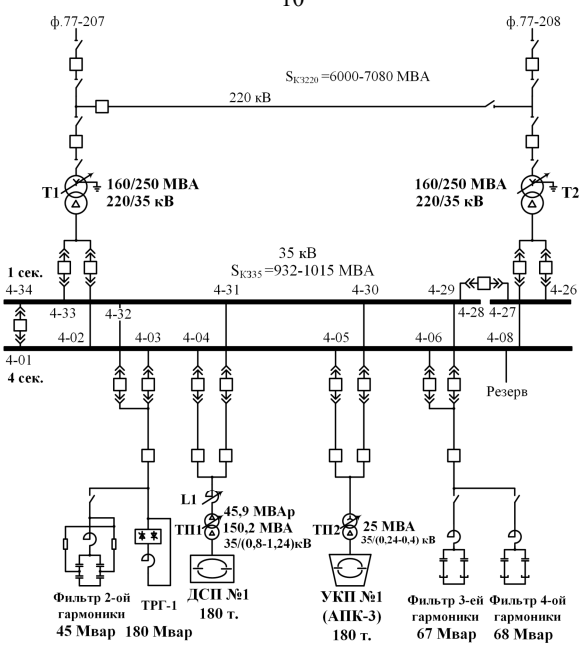


Рис. 2 – Упрощенная схема электроснабжения УКП№1 180 т. ПАО «ММК»

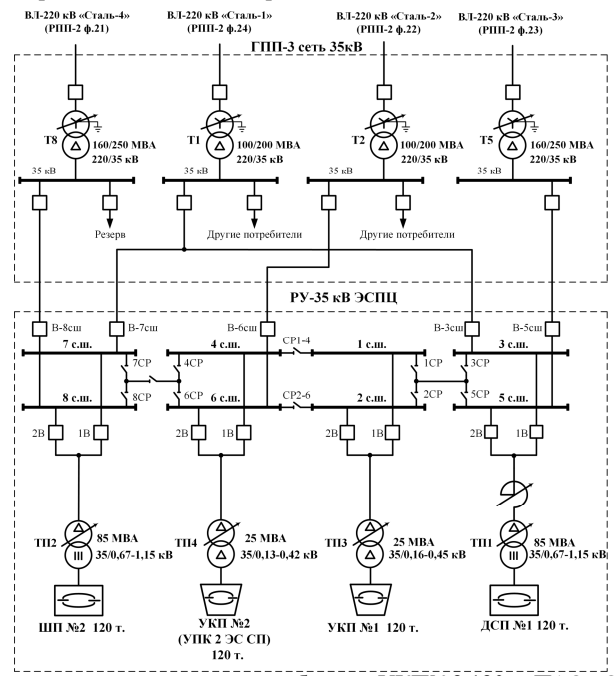


Рис. 3 – Упрощенная схема электроснабжения УКП№2 120 т. ПАО «Северсталь»

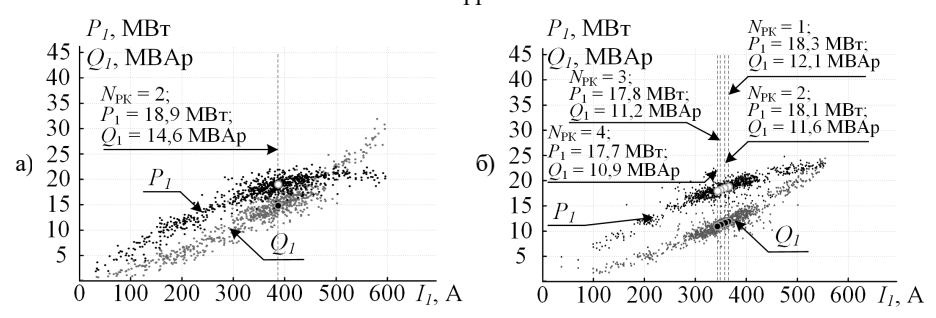


Рис. 4 - Экспериментальные зависимости  $P_{1,\text{СУМ}} = f(I_{1\text{СР}})$  и  $Q_{1,\text{СУМ}} = f(I_{1\text{СР}})$ , полученные с использованием фактических областей рабочих точек для : а) УКП№1 180т. ПАО «ММК»; б) УКП№2 120т. ПАО «Северсталь»

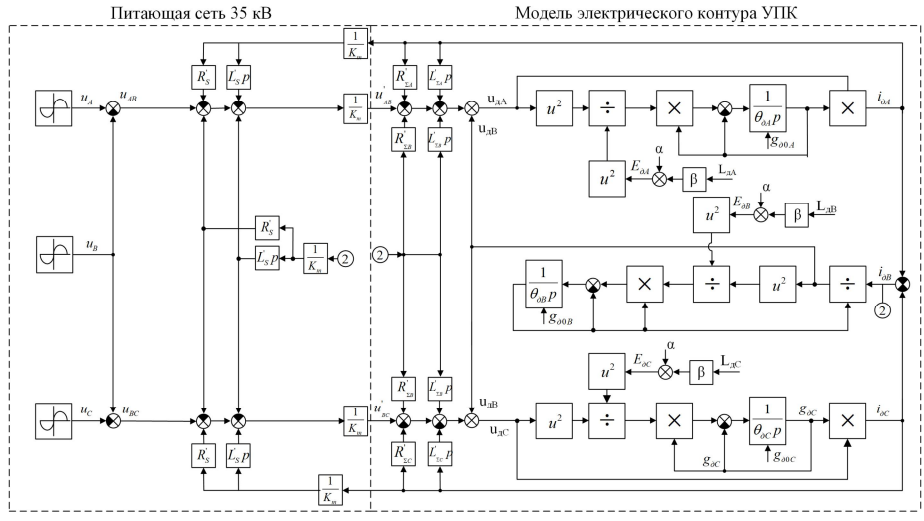


Рис. 5 - Структурная схема математической модели электрического контура УКП

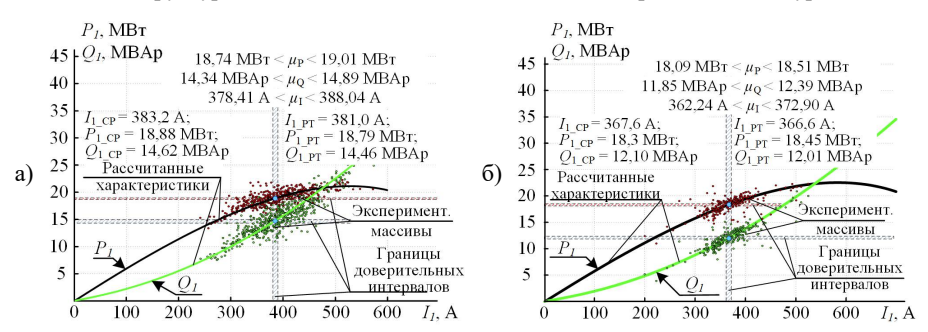


Рис. 6 - Характеристики  $P_{1.{\rm CYM}} = f(I_{1{\rm CP}})$  и  $Q_{1.{\rm CYM}} = f(I_{1{\rm CP}})$ , полученные на математической модели, с нанесением фактической области распределения рабочих точек и доверительных интервалов для:
а) УКП№1 180т. ПАО «ММК»; б) УКП№2 120т. ПАО «Северсталь»



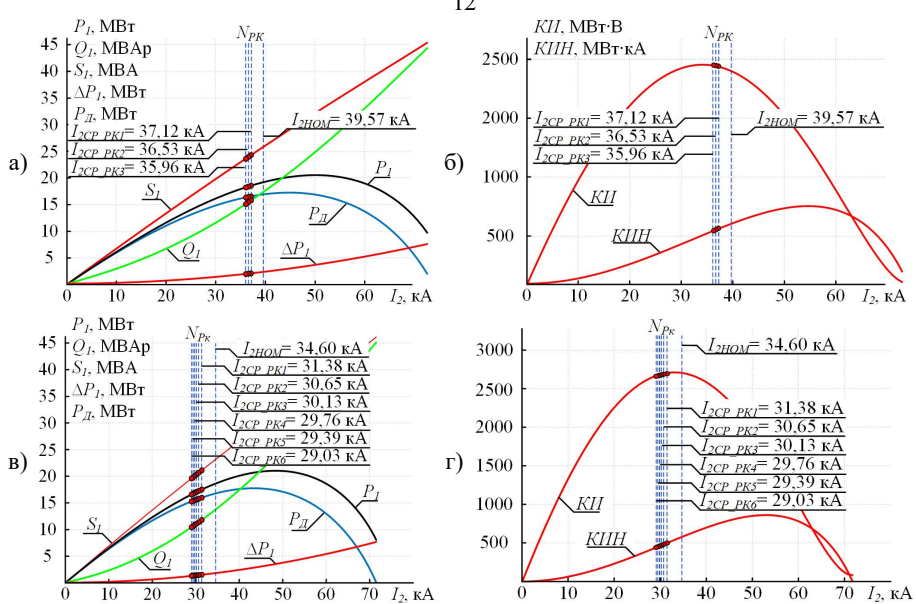


Рис. 7 – Основные электрические характеристики УКП№1 180 т. ПАО «ММК» (а и б) и УКП№2 120 т. ПАО «Северсталь» (в и г) при исходных электрических режимах, полученные с использованием математических моделей

Таблица 1 — Средние значения временных, энергетических и технологических показателей исследуемых УКП

Наименование параметра	УКП№1 180т ПАО «ММК»	УКП№2 120т ПАО «Северсталь»
1. Среднее время обработки $t_{\text{ОБР}}$ , мин	111,15	56,94
2. Среднее время работы под током $t_{PT}$ , мин	29,2	27,03
4. Средний удел. расход ЭЭ на жидкую сталь $W_{\rm VJ}$ , кВт $\cdot$ ч/т	69,13	47,46
5. Средний расход аргона $Q_{AP\Gamma}$ , м <sup>3</sup>	138,27	40,05
7.Средняя величина нагрева $\Delta T_{\text{НАГ.}}$ °С	31,15	22,26

Таким образом, в данной главе был подготовлен необходимый объем экспериментальных данных для дальнейших теоретических исследований.

В третьей главе представлены результаты экспериментальных исследований изменения гармонического состава токов электрических дуг УКП в зависимости от режимов аргонной продувки и шлаковых режимов. Доказана взаимосвязь стабильности горения дуги и теплового КПД дуг со значением суммарного коэффициента искажения синусоидальности токов дуг  $K_{\rm I}$  ( $THD_{\rm I}$ ). Показано, что экранирование дуг шлаком существенно повышает их стабильность горения и тепловой КПД, снижая коэффициент  $K_{\rm I}$ , напротив, работа с неэкранированными дугами приводит к значительным тепловым потерям и высокому  $K_{\rm I}$  (рис. 8, б). Установлено, что уменьшение длины электрической дуги в условиях интенсивной аргонной продувки способствует повышению стабильности горения дуг за счёт их погружения в мениск жидкого металла и частичного экранирования, что улучшает теплопередачу и снижает  $K_{\rm I}$  (рис.8, а). Показано влияние аргонной продувки на геометрию поверхности жидкого металла, детально рассмотрен процесс формирования зеркала жидкого металла (рис.9, а), которое приводит к оголению электрических дуг находящихся вблизи продувочных блоков, что негативно сказывается на их стабильности горения, тепловом КПД и приводит к росту  $K_1$ (рис. 9, б). Эти экспериментальные данные доказывают обоснованность использования в качестве критерия для работы усовершенствованных алгоритмов автоматического управления электрическими режимами УКП информации о гармоническом составе токов К<sub>I</sub>.

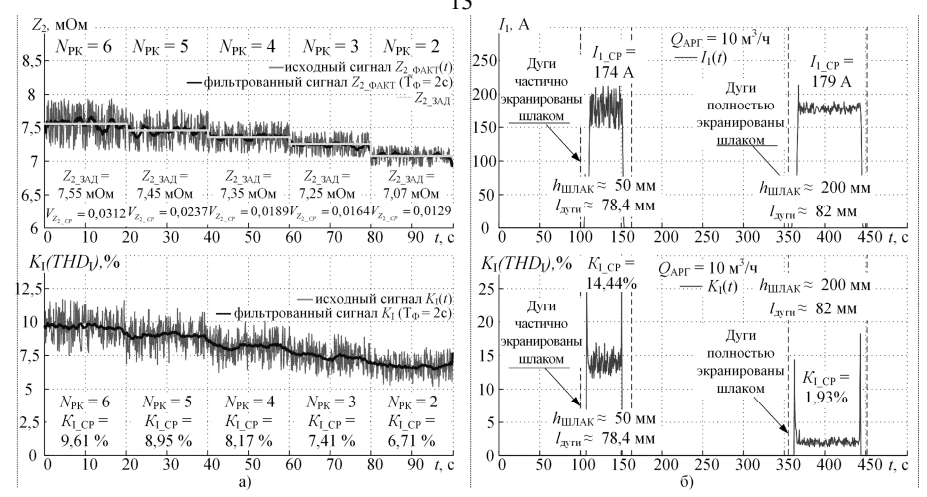


Рис. 8 — Экспериментальные исследования изменения гармонического состава токов электрических дуг УКП: а) качество регулирования импеданса при изменении длины электрической дуги, при интенсивной аргонной продувке ( $Q_{\text{АРГ},\Phi\text{АКТ}} = 1600 \text{ л/мин}$ )); б) влияние экранирования электрической дуги на коэффициент гармонических искажений тока

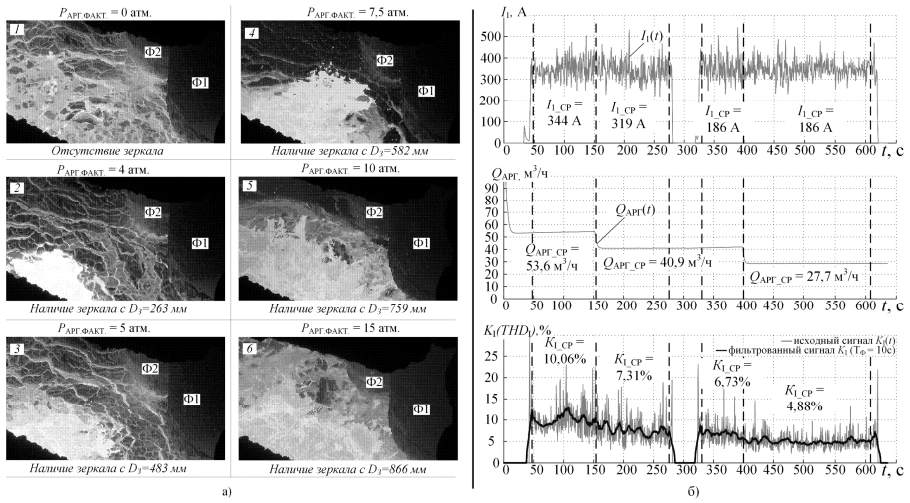


Рис. 9 — Экспериментальные исследования изменения гармонического состава токов электрических дуг УКП: а) исследование зеркала жидкого металла при различных режимах аргонной продувки (съемка видеокамерой через рабочее окно); б) изменение суммарных коэффициентов гармонических искажений токов при изменении расхода аргона

<u>Четвертая глава</u> посвящена разработке методике задания оптимальных электрических режимов <u>УКП</u> с учетом расположения оборудования аргонной продувки и усовершенствованных алгоритмов автоматического управления электрическими режимами УКП с динамической адаптацией уставок импеданса вторичного электрического контура и вторичного напряжения печного трансформатора с использованием информации о гармоническом составе токов дуг.

На основании результатов исследования влияния режимов аргонной продувки и шлаковых режимов на  $K_1$  был предложен подход к заданию несимметричных электрических режимов УКП, при которых длины дуг фаз находящихся в нестабильной зоне печи следует уменьшать, при сохранении среднего по фазам действующего значения тока для фиксированной средней уставки импеданса фаз. Разрабатываемая методика должна быть универсальной и применимой к УКП любых конфигураций, учитывая расположение продувочных пробок и аварийной фурмы. С учётом обозначенных требований, методика определения оптимальных значений уставок параметров регулирования (импедансов вторичного электрического контура УКП  $Z_{2\Phi, B, 3AД}$ ,  $Z_{2\Phi, C, 3AД}$ ) имеет следующую последовательность действий:

1. Определение степени влияния зеркал жидкого металла на фазы в соответствии с конструкцией УКП.

2. Определение электрической принадлежности фаз и сопоставление их с обозначениями фаз в системе автоматического управления электрическими режимами УКП.

3. Расчет заданного значение коэффициента интенсивности нагрева *КИН*<sub>ЗАД</sub> на основе необходимой скорости нагрева жидкой стали согласно существующей технологии.

4. Определение требуемого количества рабочих кривых  $N_{\rm PK}$  и их соответствие длинам электрических дуг.

5. Расчет электрического режима УКП для коротких дуг. Для режима коротких дуг, в случае, когда зеркала жидкого металла оказывают влияние на одну дугу или одинаковое влияние на две дуги, используется максимальная несимметрия уставок импедансов  $Z_{2\Phi,A.3AД}$ ,  $Z_{2\Phi,B.3AД}$ ,  $Z_{2\Phi,C.3AД}$ , обеспечивающая минимальную длину дуг в фазах, расположенных вблизи зеркал жидкого металла в соответствии с системой критериев (1). В случае, когда зеркала металла оказывают неодинаковое влияние на две фазы, для фазы с наибольшим влиянием зеркала следует максимально укорачивать дугу, при этом для фазы, на которую зеркала металла оказывают меньшее воздействие, следует задавать дугу средней длины. Таким образом, две дуги укорачиваются в разной степени, а одна дуга удлиняется. В таком случае, актуальной системой критериев будет (2).

$$\begin{bmatrix} Z_{2\phi\_KOP} > 1, 3 \cdot Z_{2\phi\_KO} \\ I_{J\_KOP\_MAKC} < \lambda \cdot \bar{I}_{2HOM} \\ K\bar{I}_{J\_CP} \le I_{2HOM} \\ K\bar{I}_{J\_CP} \le I_{2HOM} \\ I_{J\_JJ} \le I_{J\_MH} \\ K\bar{I}_{J\_JJ} \ge I_{J\_MH} \\ K\bar{I}_{J\_JJ} = K\bar{I}_{J\_MH} \end{bmatrix}; (1)$$
 
$$\begin{bmatrix} Z_{2\phi\_KOP} > 1, 3 \cdot Z_{2\phi\_KS} \\ I_{J\_KOP\_MAKC} < \lambda \cdot \bar{I}_{2HOM} \\ K\bar{I}_{KOP} \to \min \\ Z_{2\phi\_KOP} < Z_{2\phi\_CP\_o} < Z_{2\phi\_JJ} \\ I_{J\_MHH} < I_{J\_CP\_o} < \lambda \cdot I_{2HOM} \\ K\bar{I}_{CP\_o} \to \min \\ I_{J\_JJ} \ge I_{J\_MHH} \\ I_{J\_JJ} \le I_{J\_MHH} \\ I_{J\_JJ} \le I_{J\_MHH} \\ I_{J\_JJ} \le I_{J\_MHH} \\ K\bar{I}_{J\_JJ} \le I_{J\_MHH}$$

где  $Z_{2\Phi\ KOP}$  — значение уставки импеданса для укорачиваемой дуги;  $Z_{2\Phi\ K3}$  — значение импеданса фазы;  $I_{I_{\mu}\ KOP\ MAKC}$  — максимальное допустимое значение тока короткой дуги;  $\lambda$  — перегрузочная способность печного трансформатора;  $I_{2\ HOM}$  — значение номинального вторичного тока печного трансформатора;  $KH_{KOP}$  — коэффициент излучения укорачиваемой дуги;  $I_{I_{\mu}\ IJ_{\mu}}$  — длина электрической дуги;  $h_{III}$  — высота слоя шлака;  $I_{I_{\mu}\ IJ_{\mu}}$  — значение тока удлиняемой дуги;  $I_{I_{\mu}\ MIH}$  — минимальное допустимое значение тока дуги (при котором сохраняется стабильность горения);  $KHH_{\Sigma}$  — суммарное расчетное значение коэффициента интенсивности нагрева;  $KUH_{3AI}$  — расчётное заданное значение коэффициента интенсивности нагрева;  $Z_{2\Phi\ CP\ \delta}$  — значение уставки импеданса для дуги средней длины;  $Z_{2\Phi\ LP}$  — соэффициент излучения дуги;  $I_{I_{\mu}\ CP}$  — значение тока дуги средней длины;  $I_{I_{\mu}\ LP}$  — коэффициент излучения дуги средней длины;  $I_{I_{\mu}\ LP}$  — длина электрической дуги;  $I_{Z\Phi\ A}$ ,  $I_{Z\Phi\ B}$ ,  $I_{Z\Phi\ C}$  — значение уставки импеданса для дуг фаз 1-3;  $I_{I_{\mu}\ CP}$  — среднее значение тока дуг фаз 1-3.

6. Расчет электрического режима УКП для длинных дуг. Для режима работы с длинными дугами является целесообразным расширение диапазона регулирования тока дуги и симметричный режим работы дуг. Важным критерием при задании данного режима являются перекрытие электрический дуги слоем шлака не менее чем на 20%, так-

же ток дуг не должен быть ниже граничного значения, за которым теряется устойчи-

вость горения. Системой критериев для задания длинных дуг является (3).

7. Расчет электрического режима УКП для несимметричных дуг средней длины. Для режима средних дуг разница между средним током по трем фазам для режима длинных дуг и средним током для режима коротких дуг делится на равные участки. Количество этих участков зависит от требуемого числа рабочих кривых с дугами средней длины. Для этого определяется величина шага приращения тока дуги (4), затем определяется среднее по трем фазам значение тока дуги на рабочей кривой (5):

$$I_{\mathcal{A}\_{\mathit{LHAF}}} = \frac{I_{\mathcal{A}\_{\mathit{AMH}}} - I_{\mathcal{A}\_{\mathit{KOP}}}}{n+1}; \quad (4) \qquad \qquad I_{\mathcal{A}\_{\mathit{CP}_n}} = I_{\mathcal{A}\_{\mathit{KOP}}} + n \cdot I_{\mathcal{A}\_{\mathit{LHAF}}}, \quad (5)$$

где  $I_{\rm I\_JIIIH}$  — среднее по трем фазам значение тока дуги для режима горения длинных дуг;  $I_{\rm I\_KOP}$  — среднее по трем фазам значение тока дуги для режима горения коротких дуг; n — количество рабочих кривых для режимов горения дуг средней длины;  $I_{\rm I\_IIIAF}$  — величина шага приращения тока дуги;  $I_{\rm I\_KOP}$  — среднее по трем фазам значение тока дуги для режима горения коротких дуг; n — порядковый номер рабочей кривой со средней длиной дуги.

Дуги средней длины должны быть несимметричными, но степень несимметрии меньше, чем для режима горения коротких дуг, т.е. разница между минимальным и максимальным значением балансовых коэффициентов должна быть меньше аналогичной разницы для режима коротких дуг, или средних дуг, но с большей степенью несимметрии. При этом, степень несимметрии также делится на равные участки между максимально несимметричным и симметричным режимом.

Значения балансовых коэффициентов найдутся следующим образом:

$$K_{b\_KOP} = \frac{Z_{2\Phi\_KOP}}{Z_{2\Phi\_CP}}; \qquad (6) \quad K_{b\_CP\_\partial} = \frac{Z_{2\Phi\_CP\_\partial}}{Z_{2\Phi\_CP}}; \qquad (7) \quad K_{b\_JJJJJJ} = \frac{Z_{2\Phi\_JJJJJJJ}}{Z_{2\Phi\_CP}}, \quad (8)$$

где  $Z_{2\Phi\_KOP}$  — значение уставки импеданса для укорачиваемой дуги;  $Z_{2\Phi\_CP}$  — среднее значение уставки импеданса фаз 1-3;  $Z_{2\Phi\_CP}$  — значение уставки импеданса для дуги средней длины;  $Z_{2\Phi\_CP}$  — среднее значение уставки импеданса фаз 1-3;  $Z_{2\Phi\_ДЛИН}$  — значение уставки импеданса для удлиняемой дуги;  $Z_{2\Phi\_CP}$  — среднее значение уставки импеданса фаз 1-3.

<sup>8</sup>. Уточнение рассчитанных параметров в ходе проведения тестовых плавок на УКП. Поскольку расчет выполняется с использованием математической модели, то при практической реализации необходима проверка разработанных несимметричных режимов на действующем оборудовании и, при необходимости, коррекция параметров. Это обусловлено наличием множества факторов, влияющих на работу агрегата, которые невозможно полностью учесть при математическом моделировании.

Автоматическая адаптация электрических режимов УКП к текущим условиям плавки требует параметра, точно отражающего режимы горения электрических дуг. На основании доказанной взаимосвязи между шлаковыми режимами, параметрами артонной продувки и гармоническим составом токов, в качестве критерия, на основании которого будет осуществляться работа алгоритма предложен коэффициент шлака  $K_{\text{ШЛАК}}$ . При этом, коэффициент вспенивания шлака  $K_{\text{ШЛАК}}$  может быть определен как обратная величина от  $K_1$  с учетом масштабного коэффициента a (9), а коэффициент a может быть определен как произведение a00 на минимальное значение a10 на минимальное значение a

$$K_{\text{IIIJIAK}} = \frac{a}{K_I}$$
; (9)  $a = 100K_{\text{Imin}}$ ; (10)  $K_I = \frac{\sqrt{I_{RMS}^2 - I_0^2 - I_1^2}}{I_1} \cdot 100\%$ , (11)

где  $I_{\rm RMS}$  - среднеквадратичное значение сигнала тока;  $I_1$  - среднеквадратичное значение сигнала тока 1-й гармоники;  $I_0$  - постоянная составляющая сигнала тока.

Обобщённая блок-схема алгоритма автоматической адаптации электрического режима к текущим условиям плавки представлена на рис.10.

Рис. 10 — Блок-схема алгоритма автоматической адаптации электрических режимов к текущим условиям аргонной продувки и шлаковым режимам

Основным принципом управления, положенным в основу алгоритма автоматического управления электрическими режимами, является уменьшение заданных значений импедансов фаз вторичного электрического контура  $Z_{2\Phi,A,3AД}$ ,  $Z_{2\Phi,B,3AД}$ ,  $Z_{2\Phi,C,3AД}$  и, как следствие, уменьшение длин дуг при снижении  $K_{\text{ШЛАК}}$ . В случае, если поддержание приемлемого  $K_{\text{ШЛАК}}$ , на самых коротких дугах не обеспечивается, тогда выполняется автоматическое понижение рабочей ступени печного трансформатора. Напротив, при большом значении  $K_{\text{ШЛАК}}$  при работе на максимально длинных дугах формируется сигнал на увеличение ступени трансформатора с целью повышения мощностей дуг и коэффициента интенсивности нагрева  $K\dot{H}H$ .

Разработанные электрические режимы и алгоритмы автоматического управления электрическими режимами УКП являются универсальными и подходят для печей различного класса и мощности. Их универсальность обусловлена тем, что в основе лежит фундаментальная физическая связь между процессом горения электрической дуги и ее гармоническим составом тока.

<u>Пятая глава</u> посвящена анализу достигнутого технического эффекта и результатам экспериментальных исследований заданных несимметричных электрических режимов и алгоритмов автоматического переключения  $N_{\rm PK}$  и  $N_{\rm TP}$ . Имеющиеся на исследуемых УКП системы управления электрическими режимами не имеют встроенной функции измерения гармонического состава токов дуг, поэтому на первичной стороне печного трансформатора были установлены анализаторы мощности с функцией измерения  $K_{\rm L}$ . Схемы подключения измерителей мощности показаны на рис. 11.

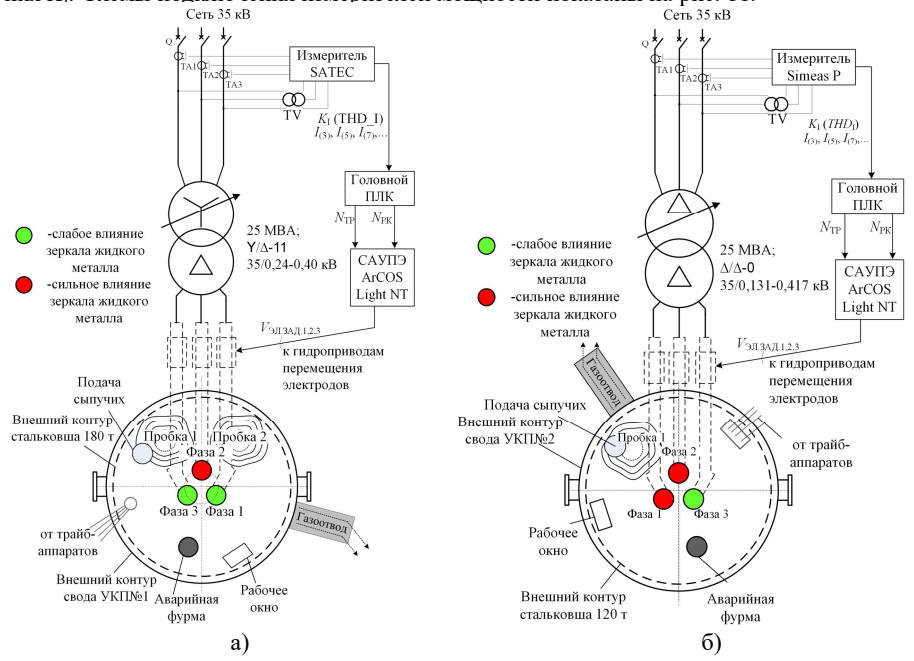


Рис. 11 – Схемы исследуемых УКП с расположением основного оборудования и установленными анализаторами мощности: а) УКП№1 180т. ПАО «ММК»; 6) УКП№2 120т. ПАО «Северсталь»

Для наглядной демонстрации работы реализованных усовершенствованных алгоритмов автоматического управления электрическими режимами УКП с динамической адаптацией длин электрических дуг и вторичного напряжения печного трансформатора с использованием информации о гармоническом составе токов дуг на рис. 12 представлены осциллограммы, полученные из архивных трендов IBA PDA с действующих агрегатов.

В результате промышленных испытаний на УКП ПАО «ММК» и ПАО «Северсталь» было достигнуто снижение удельного расхода электроэнергии на 2,46% и 2,20% соответственно. Дополнительно было проведена оценка влияния алгоритма на ресурс переключающего устройства РПН. Результаты оценки показали, что за месяц работы без отключения алгоритма автоматического управления электрическими режимами УКП, было выполнено 4925 переключений ступеней напряжения, из которых 310 переключений было инициировано алгоритмом по счетчику событий А, 200 - по счетчику событий Б и 4415 переключений были выполнены сталеваром вручную, по технологической необходимости. Таким образом, на долю алгоритма автоматического управления электри-

ческими режимами УКП приходится 10,36% всех переключений устройства РПН печного трансформатора. Разработанные электрические режимы и алгоритмы автоматического управления электрическими режимами УКП с динамической адаптацией уставок импеданса вторичного электрического контура и вторичного напряжения печного трансформатора были успешно приняты в промышленную эксплуатацию, что свидетельствует о практической применимости и доказанной эффективности предложенных решений в реальных производственных условиях.

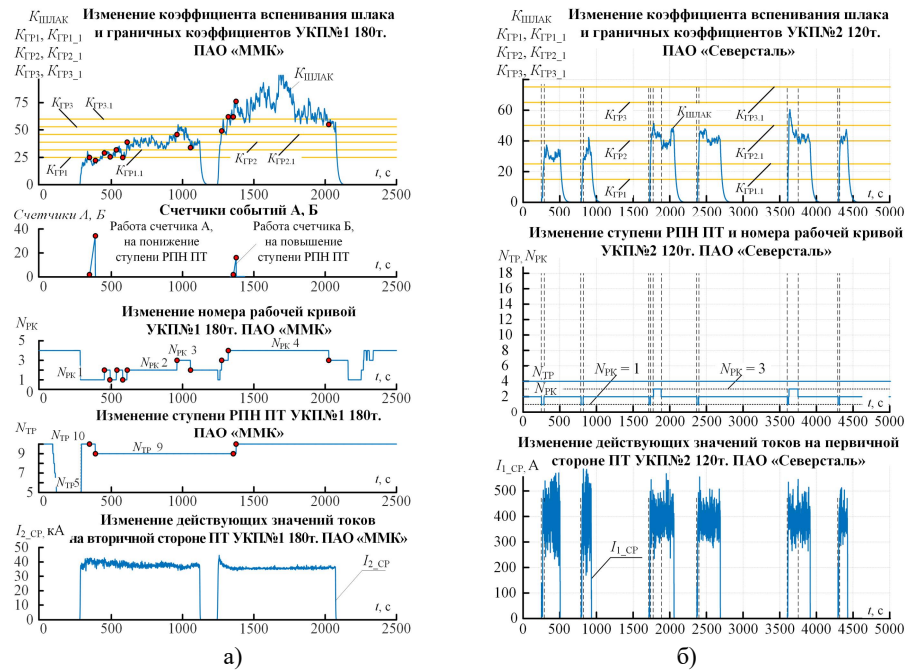


Рис. 12 — Осциллограммы работы алгоритма автоматического переключения рабочих кривых в зависимости от уровня коэффициента шлака  $K_{\text{ШЛАК}}$ 

#### ЗАКЛЮЧЕНИЕ И ОСНОВНЫЕ ВЫВОДЫ ПО ДИССЕРТАЦИИ

- 1. Проведены экспериментальные исследования электрических режимов УКП, функционирующих на отечественных предприятиях черной металлургии. Выполнен сбор данных об электрооборудовании, системах электроснабжения и управления, а такет технологических режимах. Важной технологической особенностью УКП является необходимость перемешивания жидкой стали в стальковшах инертным газом. Работа продувочных блоков создает возмущения на поверхности жидкого металла, которые негативно сказываются на энергоэффективности работы агрегата.
- 2. Проанализированы существующие алгоритмы и параметры систем автоматического управления электрическими режимами и перемещением электродов УКП. Установлено, что управление электрическими режимами УКП осуществляется сталеварами вручную с использованием ограниченного набора ступеней РПН печного трансформатора  $N_{\rm TP}$  и рабочих кривых  $N_{\rm PK}$ , определяющих длины электрических дуг. Таким образом, отсутствует автоматическая адаптация к условиям плавки (аргонной продувке иллаковым режимам). В соответствии с этим, для повышения энергоэффективности УКП, было предложено использовать усовершенствованные алгоритмы автоматического управления электрическими режимами УКП с динамической адаптацией уставок импеданса вторичного электрического контура УКП  $Z_{2\Phi, A, 3AД}$ ,  $Z_{2\Phi, B, 3AД}$ ,  $Z_{2\Phi, C, 3AД}$  и ступе-

ней РПН печного трансформатора  $N_{\mathrm{TP}}$ , используя суммарный коэффициент гармонических составляющих тока  $K_{\mathrm{I}}$  в качестве критерия для изменения электрического режима.

3. Проведены экспериментальные исследования изменения гармонического состава токов электрических дуг  $K_{\rm I}$  в УКП в зависимости от режимов аргонной продувки и шлаковых режимов, показывающие взаимосвязь значений суммарного коэффициента гармонических искажений токов дуг  $K_{\rm I}$  и теплового КПД дуг. На основании этого доказана возможность улучшения энергетических показателей УКП за счет применения специальных электрических режимов с динамической коррекцией уставок импедансов вторичного электрического контура, определяющих длины и несимметрию дуг, а также коррекцией уровня вторичного напряжения печного трансформатора.

4. Разработана методика задания оптимальных электрических режимов УКП с учетом расположения оборудования аргонной продувки, обеспечивающая нахождение наилучших значений уставок импедансов вторичного электрического контура, задающих наилучшую несимметрию длин дуг в фазах, расположенных в непосредственной близости к зеркалам жидкого метапла на поверхности ванны в стальковше, обеспечи-

вающую повышение КПД электрических дуг.

5. Разработаны усовершенствованные алгоритмы автоматического управления электрическими режимами УКП с динамической адаптацией уставок импеданса вторичного электрического контура УКП и ступеней РПН печного трансформатора с использованием информации о гармоническом составе токов дуг, обеспечивающие достижение максимального КПД электрических дуг, повышение скорости нагрева металла, уменьшение времени работы под током, и, как следствие, снижение удельного расхода электроэнергии. Также даны правила определения граничных значений коэффициента шлака  $K_{\rm IIIЛАК}$  для разработанного алгоритма автоматического управления электрическими режимами УКП, позволяющие алгоритму осуществлять своевременные изменения длин электрических дуг и вторичного напряжения печного трансформатора при изменении условий аргонной продувки и шлакового режима.

6. Результаты экспериментальных исследований подтвердили эффективность усовершенствованного алгоритма автоматического управления электрическими режимами УКП с динамической адаптацией длин электрических дуг и вторичного напряжения печного трансформатора. Доказано наличие технического эффекта по уменьшению удельного расхода электроэнергии на 2,46% для УКП№2 180т ПАО «ММК» и на 2,2% для УКП№2 120т ПАО «Северсталь». Разработанные электрические режимы и алгоритмы автоматического управления электрическими режимами УКП с динамической адаптацией уставок импеданса вторичного электрического контура УКП и ступеней РПН печного трансформатора были успешно приняты в промышленную эксплуатацию, что свидетельствует о практической применимости и доказанной эффективности предложенных решений в реальных производственных условиях.

7. Разработанные электрические режимы и алгоритмы автоматического управления электрическими режимами УКП с динамической адаптацией уставок импеданса вторичного электрического контура УКП и ступеней РПН печного трансформатора являются универсальными и могут применяться на УКП различного класса и мощности. При этом для каждого отдельно взятого агрегата необходимо производить параметриза-

цию с учетом индивидуальных особенностей агрегата.

## ОСНОВНЫЕ ПОЛОЖЕНИЯ ДИССЕРТАЦИИ ОПУБЛИКОВАНЫ В СЛЕДУЮЩИХ РАБОТАХ

#### Научные статьи в изданиях, рекомендованных ВАК РФ

- 1. Николаев, А.А. Разработка усовершенствованных алгоритмов управления электрическими режимами установок ковш-печь с анализом гармонического состава токов дуг / А. А. Николаев, В. С. Ивекеев, П. Г. Тулупов, С. С. Рыжевол // Вестник Южно-Уральского государственного университета. Серия: Энергетика. − 2022. − Т. 22, № 3. − С. 62-75. − DOI 10.14529/power220307. − EDN XDXLQZ.
- 2. Николаев, А.А. Разработка усовершенствованного алгоритма оптимального управления электрическими режимами установки ковш-печь с применением цифрового двойника / А. А. Николаев, П. Г. Тулупов, С.С. Рыжевол, М. В. Буланов // Вестник Южно-Уральского государственного университета. Серия: Энергетика. 2024. Т. 24, № 3. С. 33-43. DOI 10.14529/power240304. EDN MHRUAF.

3. Николаев, А.А. Анализ гармонического состава токов и напряжений дуг в дуговой сталеплавильной печи с использованием математической модели / А.А.Николаев, П.Г. Тулупов, А.С. Денисевич, С.С. Рыжевол // Вестник Южно-Уральского государственного университета. Серия «Энергетика». – 2021. – Т. 21, № 2. – С. 72–84.

## Публикации в изданиях, входящих в систему цитирования Scopus

4. Nikolaev, A.A. Development of a Methodology for Selecting Optimum Asymmetric Arc Combustion Modes in Ladle-Furnace Installations under Different Argon Purging Regimes / A.A. Nikolaev, P.G. Tulupov, S.S. Ryzhevol, I.A. Lozhkin // 2022 International Ural Conference on Electrical Power Engineering (UralCon), Magnitogorsk, Russian Federation, 2022, pp. 353-358, doi: 10.1109/UralCon54942.2022.9906772.

5. Nikolaev, A.A. Development and research of improved automatic control systems for electrotechnological modes of high-power ladle-furnace units / A.A. Nikolaev, P.G. Tulupov, R.R. Dema, **S.S. Ryzhevol** // Chernye Metally, 2023. – Vol.No.12 p.32–39. DOI

10.17580/chm.2023.12.06. – EDN CLMUHU

6. Nikolaev, A.A. Analysing of the Efficiency for Ladle Furnace Improved Electric Modes Control Algorithms at PJSC "MMK" / A.A. Nikolaev, P.G. Tulupov, S.S. Ryzhevol, V.S. Ivekeev // 2023 Russian Workshop on Power Engineering and Automation of Metallurgy Industry: Research & Practice (PEAMI), Magnitogorsk, Russian Federation, 2023, pp. 90-95, doi: 10.1109/PEAMI58441.2023.10299919

7. Nikolaev, A.A. Improving the energy performance of a ladle furnace using an improved control system for electrical modes and electrode movement / A.A. Nikolaev, P.G. Tulupov, S.S. Ryzhevol, A.S. Denisevich, A.N. Emelyushin // Chernye Metally, 2024. – Vol.

No. 12. P.89-95. – DOI 10.17580/chm.2024.12.12. – EDN RBNSHO.

8. Nikolaev, A.A. Development of an Improved System for Controlling Electrical Modes of Ladle-Furnace by using a Digital Twin / A.A. Nikolaev, P.G. Tulupov, S.S. Ryzhevol, V.S. Ivekeev // 2024 International Conference on Industrial Engineering, Applications and Manufacturing (ICIEAM), Sochi, Russian Federation, 2024, pp. 1216-1220, doi: 10.1109/ICIEAM60818.2024.10553928.

9. Nikolaev, A.A. Analysis of Improved Ladle Furnace's Electrical Modes Automatic Control System in the Conditions of Real Production / A.A. Nikolaev, P.G. Tulupov, S.S. Ryzhevol, P.I. Svyatkin // 2024 International Ural Conference on Electrical Power Engineering (UralCon), Magnitogorsk, Russian Federation, 2024, pp. 869-875, doi:

10.1109/UralCon62137.2024.10718972.

#### Программы для ЭВМ

- 10. Свидетельство о государственной регистрации программы для ЭВМ № 2022669065. Программа для определения оптимальных несимметричных режимов горения дуг для однопозиционной установки ковш-печь / А. А. Николаев, П. Г. Тулупов, И. А. Гришин, Р.Р. Дема, С.С. Рыжевол; № 2022668511; заявл. 12.10.2022; опубл. 17.10.2022. 135 кб
- 11. Свидетельство о государственной регистрации программы для ЭВМ № 2023684442. Программа для энергоэффективного управления электрическими режимами установок ковш-печь высокой мощности / А. А. Николаев, П. Г. Тулупов, В. С. Ивекеев, Р.Р. Дема, С.С. Рыжевол; № 2023683052; заявл. 02.11.2023; опубл. 15.11.2023. 207 кб
- 12. Свидетельство о государственной регистрации программы для ЭВМ № 2024688107. Программа для исследования режимов работы усовершенствованной системы управления электрическими режимами установки ковш-печь с цифровым двойником / А. А. Николаев, П. Г. Тулупов, А. С. Денисевич, И.А. Ложкин, С.С. Рыжевол; № 2024686909; заявл. 11.11.2024; опубл. 25.11.2024. 139 кб
- 13. Свидетельство о государственной регистрации программы для ЭВМ № 2023684444. Программа для реализации цифрового двойника электрических режимов установки ковш-печь / А. А. Николаев, П. Г. Тулупов, И. А. Ложкин, П.И. Святкин, С.С. Рыжевол; № 2023683045; заявл. 02.11.2023; опубл. 15.11.2023. 2,17 мб